

## Photonen Statistik

Strahlungsintensität und deren Schwankungen  $\rightarrow$  Photonen Statistik  
unterhalb Laserdichte

$$\langle n \rangle = \text{mittlere Photonenzahl im Lasermodus} = \frac{1}{e^{h\nu/kT} - 1} \quad \text{Bose-Einstein Verh.}$$

wie Planck Hohlraumstrahlung bei Temp.  $T$ , wobei  $T \rightarrow \infty$  bei Annäherung an Schwelle

$$\text{Schwankungen: } \frac{\langle \Delta n^2 \rangle}{\langle n \rangle^2} = \frac{\langle n \rangle + 1}{\langle n \rangle} \quad (\langle \Delta n^2 \rangle = \langle n^2 \rangle - \langle n \rangle^2)$$

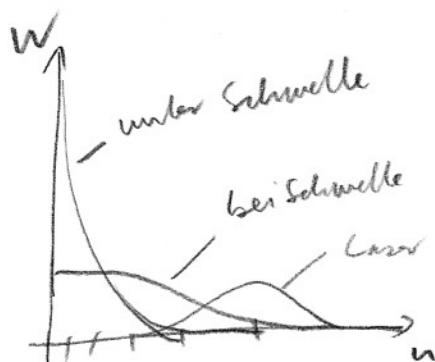
d.h. für große  $\langle n \rangle$ : Schwankungen Mittelwert

## Oszillation des Lasers

Wahrscheinlichkeit  $W$  bei  $\langle n \rangle$  gerade  $n$  Photonen zu finden:

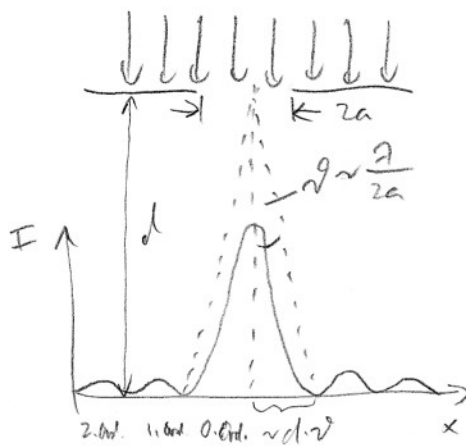
$$W(n) = \frac{\langle n \rangle^n}{n!} e^{-\langle n \rangle} \quad \text{Poisson Verteilung}$$

$$\langle \Delta n^2 \rangle = \langle n \rangle \quad \text{or} \quad \frac{\langle \Delta n^2 \rangle}{\langle n \rangle^2} = \frac{1}{\langle n \rangle}$$

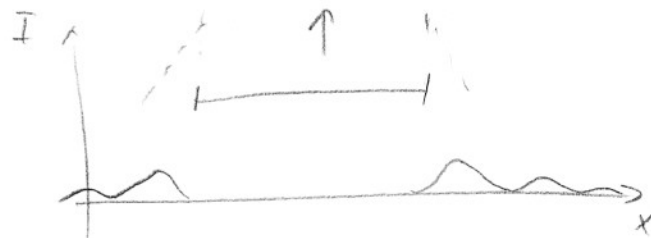
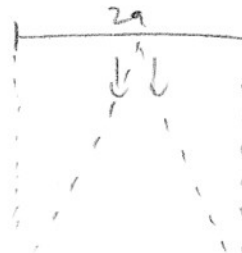


## 8.2.1. Offene optische Resonatoren

Beugungsverluste:



analog: Resonator



Beugungsverluste

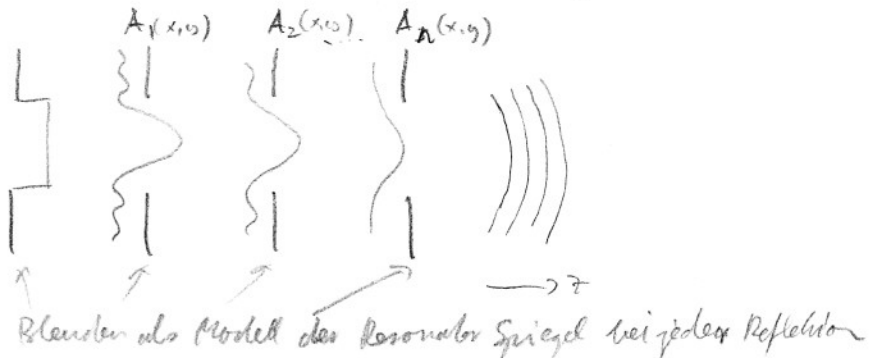
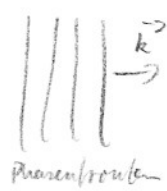
Um gesamte 0. Ordnung Beugungspore zu reflektieren:  $d \cdot \vartheta \gtrsim a$

Man kann zeigen, dass Verluste ca.  $\vartheta \sim 1/N$  sind  $\frac{d\vartheta}{2a} \xrightarrow{\parallel} \frac{a^2}{2ad} \gtrsim 1$   
 $(I = I_0 e^{-N})$

Frequenzzahl

Moden des offenen Resonators

Ebene Welle



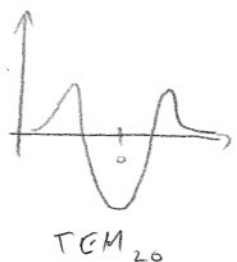
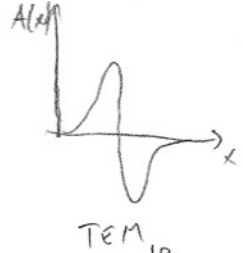
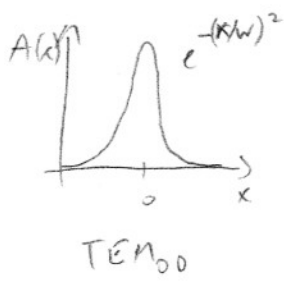
Brennen als Modell des Resonator Spiegel bei jeder Reflexion

$A(x,y)$ : Amplitudenspektrum in  $x,y$  Ebene  $\perp z$  Ausbreitungsrichtung

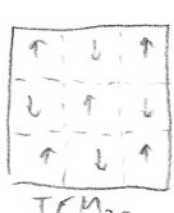
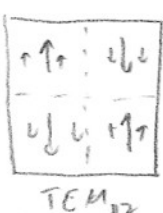
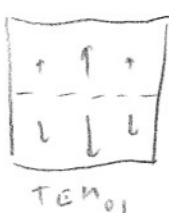
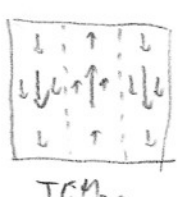
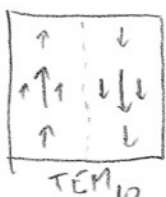
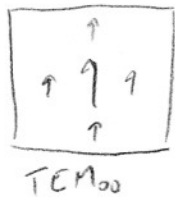
stationärer Zustand:  $A_n(x,y) = C \cdot A_{n-1}(x,y)$   $|C| < 1$ , mögl. von  $x,y$

Man kann  $A(x,y)$  im stationären Zustand berechnen (Kirchhoff'sche Beugungstheorie)

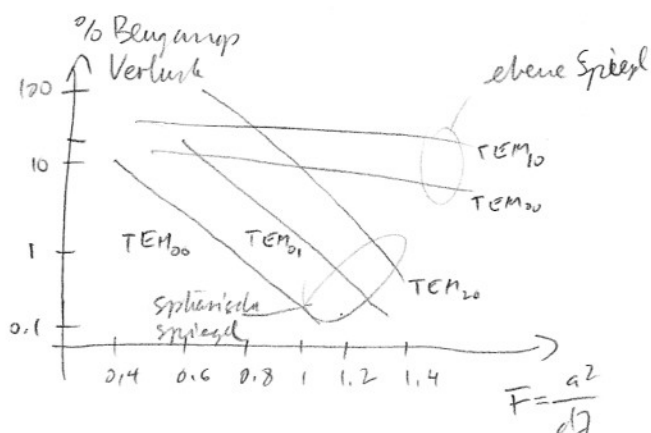
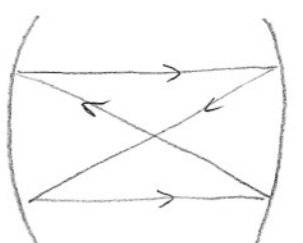
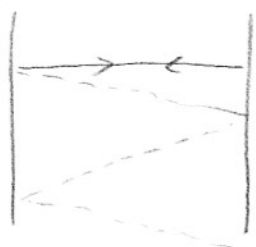
→ Formen für  $A$ , verschiedene Moden: transversal-elekromagnetische Moden TEM<sub>n,m,q</sub>  
 indiziert durch die Anzahl Knoten  $n,m$  in  $x,y$  Richtung und  $q$  in  $z$ -Richtung



$$q = \frac{a}{(\lambda/2)} \gg 1$$



### Ebene vs. sphärische Spiegel



### Frequenzspektrum

$$\nu_r \sim \frac{c}{2d} \left\{ q + \frac{1}{2}(m+n+1) \right\}$$

vgl. mit  $\nu_r = q \frac{c}{2d}$

Güteschaltung

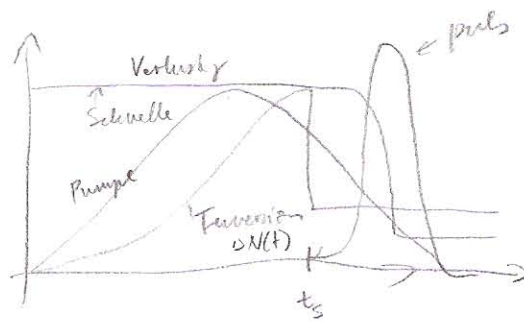
$$\text{Güte eines Resonators: } Q = \omega \frac{W_k}{\partial W_k / \partial t} = \frac{\text{ges. Energie in Fasernode}}{\text{Energieverlust pro Schwingungsperiode}}$$

$$Q = \frac{\omega}{\gamma_k} \cdot T_R = \frac{\omega}{\alpha \omega}$$

$$T_R = \text{Umlaufzeit} = \frac{2\pi}{\zeta}$$

$\gamma_k$  = Gesamtverluste pro Umlauf

$$\text{Güteschaltung: } \gamma_k = \gamma_k(t)$$

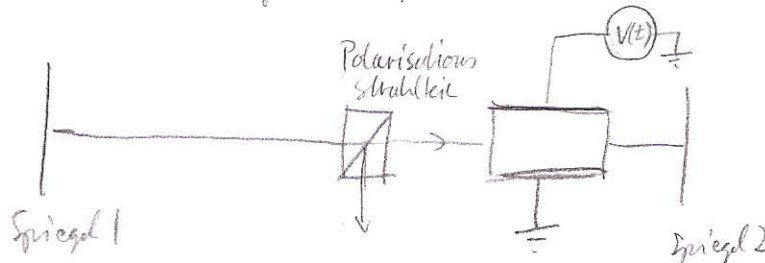


Realisationen:

a) rotierende Spiegel

b) elektrooptischer Kristall  $\rightarrow$  schneller Güteschalter

$\hookrightarrow$  Pockelszelle: Spannungsabhängige Polarisationsdrehung



$t < t_s$ : Austrittspunkt  $\rightarrow$  Schwelle nicht erreicht

$\rightarrow$  Pulse kein aus

Modenkopplung: aktiv

optischer Modulator: moduliert Verluste / Turbosität

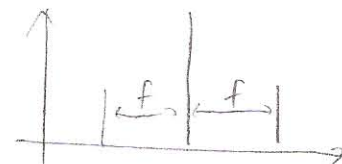
$$I = I_0 \left( 1 + a \cos(2\pi f t) \right) \cos^2(2\pi v_0 t)$$

↓ Modulationsfrequenz      ↑ Licht

z.B. Akustooptischer Modulator  
Beugung am akustisch erregten AOM-Welle

$\rightarrow$  Seitenbänder  $v_0 \pm f$

wähle  $f = \delta v = \frac{c}{2d} = \text{Modulanstand}$



aktives Medium; Bandbreite  $\Delta\nu$

$$\rightarrow N = \frac{\Delta\nu}{\delta\nu} \quad \text{Moden gekoppelt} \rightarrow \text{Phasen gekoppelt}$$

(alle Amplituden aller Moden  $\delta\nu$  maximal genau wenn Transmission Modulator maximal)

Szenenmission;  $A = \sum_{q=-m}^{+m} A_q \cos(\omega(v_0 + \gamma f)t)$   
mit  $N=2m+1$

falls  $A_q = A_0 \quad \forall q \rightarrow I \propto |A|^2 = A_0^2 \frac{\sin^2(\pi N f t)}{\sin^2(\pi f t)} \cos^2(\omega v_0 t)$

d.h. Lichtwelle mit Freq.  $v_0$  moduliert mit periodischer Folge von Pulsen  
in zeitlichen Abstand  $T = \frac{1}{f} = \frac{\lambda_0}{c}$  (ein Puls pro Wurkant)

und Pulsbreite  $\Delta T = \frac{1}{Nf} = \frac{1}{\Delta\nu}$

$\rightarrow \sim ps$  Pulse möglich.

### Modenkopplung: pernio

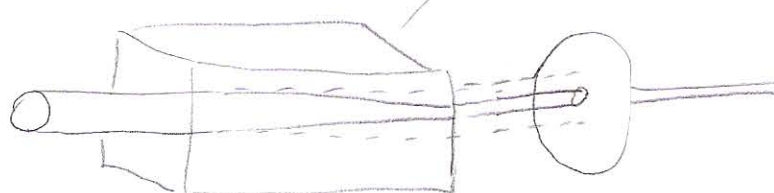
Kerr-Linse-Modenkopplung

Kerr-Effekt:  $n = n_1 + \underbrace{n_2(I)}$

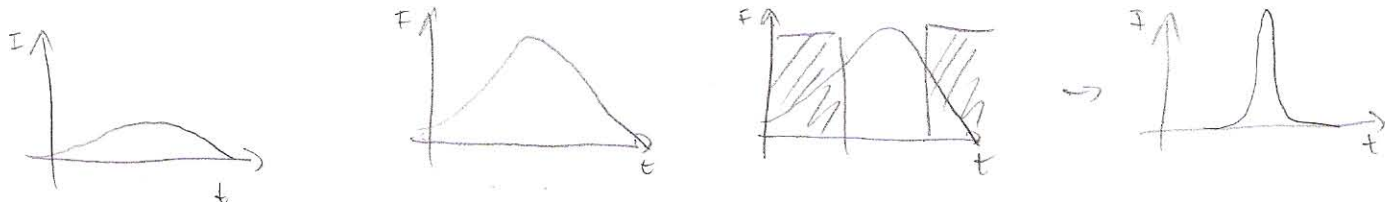
Intensitätszahl

Brechungsindex

Kerr-Linse: konvertiert Zeit- zum Raumbereich



Linsen



nichtlinearen Effekt, koppelt Moden im Frequenzbereich  $\rightarrow$  kurze Pulse  $\sim fs$   
(Dispersion kompenstation Spiegel / Prismenwinkel)